

3 Aplicação da Metodologia

3.1 Placa fina

3.1.1 Campo de deslocamentos

Para o problema da placa fina têm-se seis deslocamentos generalizados em cada ponto, duas translações uz_i ; duas rotações em $\varphi\theta_i$ e duas rotações em φr_i ($i=1,2$). Considerando-se pequenos deslocamentos, mostra-se que o giro no plano r-z é $\varphi\theta = \frac{\partial w}{\partial r}$ e no plano θ -z é $\varphi r = -\frac{1}{r} \frac{\partial w}{\partial \theta}$ que podem ser substituídas nas equações (2-4) tendo:

$$u_r(r, \theta, z) = z \left(\frac{\partial w}{\partial r} \right) \quad (43)$$

$$u_\theta(r, \theta, z) = -z \left(\frac{1}{r} \frac{\partial w}{\partial \theta} \right) \quad (44)$$

$$u_z(r, \theta, z) = w \quad (45)$$

3.1.2 Campo de deformações

Sabe-se que para a teoria das placas finas as deformações ε_{zz} , $\gamma_{\theta z}$ e γ_{rz} são aproximadamente iguais à zero. Substituindo as equações (43-45) de deslocamentos, nas equações (5), (6) e (8) obtemos:

$$\varepsilon_{rr} = -z \frac{\partial^2 w}{\partial r^2} \quad (46)$$

$$\varepsilon_{\theta\theta} = -z \left(\frac{1}{r} \frac{\partial w}{\partial r} + \frac{1}{r^2} \frac{\partial^2 w}{\partial \theta^2} \right) \quad (47)$$

$$\gamma_{r\theta} = -z \left(\frac{2}{r} \frac{\partial^2 w}{\partial r \partial \theta} - \frac{1}{r^2} \frac{\partial w}{\partial \theta} \right) \quad (48)$$

3.1.3

Funções descritivas dos deslocamentos e graus de liberdade

No elemento da placa, além de ter graus de liberdade translação perpendicular à superfície média, temos as rotações da seção transversal.

O campo de deslocamentos da placa fina w_f é dado por um vetor de funções básicas w_{Bf} , que tem como elementos duas translações uz_i ; e duas rotações $\varphi\theta_i$ ($i=1,2$); e o vetor de funções adicionais w_{Af} que são aproximações das funções de interpolação polinomiais de terceiro grau. Para descrever os deslocamentos circunferenciais tem que adicionar os vetores w_{BTf} e w_{ATf} que resulta da multiplicação dos vetores w_{Bf} e w_{Af} por uma função trigonométrica ($sen\theta$).

$$w_f = \begin{Bmatrix} w_{Bf} \\ w_{Af} \\ w_{BTf} \\ w_{ATf} \end{Bmatrix} \quad (49)$$

$$w_{Bf} = \begin{Bmatrix} N_1 \\ N_2 \\ N_3 \\ N_4 \end{Bmatrix} \quad (50)$$

$$w_{Af} = \begin{Bmatrix} N_5 \\ \vdots \\ N_n \end{Bmatrix} \quad (51)$$

$$w_{BTf} = w_{Bf} \text{ sen } \theta \quad w_{ATf} = w_{Af} \text{ sen } \theta \quad (52)$$

Onde $N_1 \dots N_4$ são as funções de interpolação básicas nodais; $N_5 \dots N_n$ são as funções de interpolação adicionais que permitem descrever deslocamentos e deformações internas.

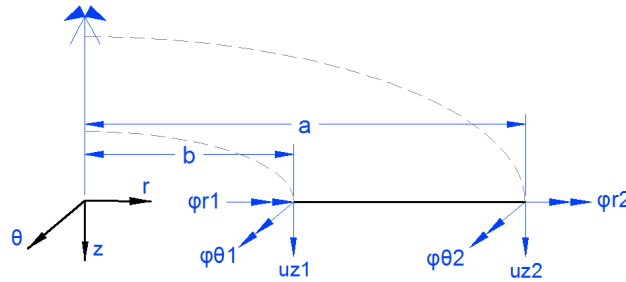


Figura 3-1: Graus de liberdade de a placa circular.

3.1.4 Funções Nodais

As funções de forma polinomiais de uma viga que descrevem os quatro graus de liberdade da placa a partir dos deslocamentos nodais são polinômios cúbicos que tem graus de liberdade de rotação e translação nas extremidades correspondentes.

$$\begin{aligned} N_1 &= 1 - \frac{3x^2}{L^2} + \frac{2x^3}{L^3} & N_2 &= x - \frac{2x^2}{L} + \frac{x^3}{L^2} \\ N_3 &= \frac{3x^2}{L^2} - \frac{2x^3}{L^3} & N_4 &= -\frac{x^2}{L} + \frac{x^3}{L^2} \end{aligned} \quad (53)$$

Sabendo que estas funções de interpolação cumprem as condições básicas do problema por ter translações e rotações máximas nos nós. Os valores de x e L na equação (53) cumprem com as seguintes relações:

$$x = r - b \quad L = a - b \quad (54)$$

3.1.5 Funções adicionais

As funções adicionais $N_5 \dots N_n$ são funções que fornecem deslocamentos e rotações nulos nas extremidades.

$$N_{\geq 5} = A + B\left(\frac{x}{L}\right) + C\left(\frac{x}{L}\right)^2 + D\left(\frac{x}{L}\right)^3 + \left(\frac{x}{L}\right)^{n+3} \quad (55)$$

Foi adotada uma função básica polinomial de terceiro grau, no qual precisa da determinação das constantes A, B, C e D e isto se dá através de condições apropriadas de contorno. Ou seja, as funções e suas tangentes (primeira derivada) se anulam nos extremos ($x=0, x=L$) obtendo assim os valores das constantes, para poder substituir na equação 55, tendo como resultado a seguinte expressão:

$$N_{\geq 5} = n\left(\frac{x}{L}\right) - (1+n)\left(\frac{x}{L}\right)^3 + \left(\frac{x}{L}\right)^{n+3} \quad (56)$$

Substituindo os valores da equação (54) na equação (56) tem-se.

$$N_{\geq 5} = n\left(\frac{r-b}{a-b}\right)^2 - (1+n)\left(\frac{r-b}{a-b}\right)^3 + \left(\frac{r-b}{a-b}\right)^{n+3} \quad (57)$$

Onde n é o número de polinômios adicionais que precisa para refinar o problema.

3.1.6 Energia de deformação da placa fina

Conhecendo o campo de deslocamentos da placa fina pode-se conhecer a energia interna da placa. Substituindo as deformações das

equações (46-48) e as tensões das equações (11), (12) e (14) na equação (33) e integrando com respeito de h e simplificando, chega-se a seguinte igualdade:

$$U = D_o \int_b^a \int_0^{2\pi} \left[\left(\frac{\partial^2 w}{\partial r^2} + \frac{1}{r} \frac{\partial w}{\partial r} + \frac{1}{r^2} \frac{\partial^2 w}{\partial \theta^2} \right)^2 - 2(1-\nu) \frac{\partial^2 w}{\partial r^2} \left(\frac{1}{r} \frac{\partial w}{\partial r} + \frac{1}{r^2} \frac{\partial^2 w}{\partial \theta^2} \right) + 2(1-\nu) \left(\frac{1}{r} \frac{\partial^2 w}{\partial r \partial \theta} + \frac{1}{r^2} \frac{\partial w}{\partial \theta} \right)^2 \right] r dr d\theta dz + \frac{1}{2} \int_b^a \int_0^{2\pi} k w^2 r dr d\theta \quad (58)$$

Na expressão acima, k é o coeficiente da base elástica e D_o , é o coeficiente de rigidez da placa dado por:

$$D_o = \frac{E h^3}{12(1-\nu^2)} \quad (59)$$

Onde ν é o coeficiente de Poisson e E é o Modulo de Elasticidade do material.

3.1.7 Matriz de rigidez da placa fina

A matriz de rigidez da placa fina será composta com a somatória de energias de deformação da mesma. Para realizar a análise matricial destas integrais precisamos das seguintes parcelas:

$$\{V1\} = \left(\frac{\partial^2 w}{\partial r^2} + \frac{1}{r} \frac{\partial w}{\partial r} + \frac{1}{r^2} \frac{\partial^2 w}{\partial \theta^2} \right) \quad (60)$$

$$\{V2\} = \frac{\partial^2 w}{\partial r^2} \quad (61)$$

$$\{V3\} = \left(\frac{1}{r} \frac{\partial w}{\partial r} + \frac{1}{r^2} \frac{\partial^2 w}{\partial \theta^2} \right) \quad (62)$$

$$\{V4\} = \left(\frac{1}{r} \frac{\partial^2 w}{\partial r \partial \theta} + \frac{1}{r^2} \frac{\partial w}{\partial \theta} \right) \quad (63)$$

Então, substituindo as igualdades (60-63) na integral (58), obtemos:

$$\begin{aligned} [K_E] = & \int_b^a \int_0^{2\pi} Do \{V1\} \{V1\}^T r d\theta dr + \int_b^a \int_0^{2\pi} Do \{V2\} \{V3\}^T r d\theta dr \\ & + \int_b^a \int_0^{2\pi} Do \{V3\} \{V2\}^T r d\theta dr + \int_b^a \int_0^{2\pi} Do \{V4\} \{V4\}^T r d\theta dr \\ & + \int_b^a \int_0^{2\pi} k \{w\} \{w\}^T r d\theta dr \end{aligned} \quad (64)$$

3.1.8 Vetor de forças

O tipo de carga que é considerado é a carga uniforme distribuída perpendicular na superfície média da placa. Para calcular o vetor de forças pode ser feita através da energia potencial de cargas externas da seguinte forma:

$$[P] = - \int_b^a \int_0^{2\pi} qz \{w\} r dr d\theta \quad (65)$$

3.1.9 Matriz de massa

A matriz de massa será descrita pela seguinte expressão, onde ρ é a massa específica do material:

$$\begin{aligned}
 [M] = & \rho \int_{-h/2}^{h/2} \int_b^a \int_0^{2\pi} \{w\} \{w\}^T r d\theta dr dz \\
 & + \frac{\rho h^2}{12} \int_{-h/2}^{h/2} \int_b^a \int_0^{2\pi} \{w\}_{,r} \{w\}_{,r}^T r d\theta dr dz \\
 & + \frac{\rho h^2}{12} \int_{-h/2}^{h/2} \int_b^a \int_0^{2\pi} \frac{1}{r^2} \{w\}_{,\theta} \{w\}_{,\theta}^T r d\theta dr dz
 \end{aligned} \tag{66}$$

3.1.10

Matriz geométrica

A matriz de rigidez geométrica para a placa circular fina pode ser obtida pelo trabalho realizado pelas forças constantes agindo em direção axial do plano médio da placa. A matriz de rigidez geométrica pode ser obtida por:

$$[K_G] = h \int_b^a \int_0^{2\pi} \sigma_r \{w\}_{,r} \{w\}_{,r}^T r d\theta dr + h \int_b^a \int_0^{2\pi} \frac{1}{r^2} \sigma_\theta \{w\}_{,\theta} \{w\}_{,\theta}^T r d\theta dr \tag{67}$$

3.2

Placa espessa

3.2.1

Campo de deformações

A deformação que uma placa circular espessa sofre é ε_{rr} , $\varepsilon_{\theta\theta}$, $\gamma_{r\theta}$, γ_{rz} e $\gamma_{\theta z}$. Então, substituindo as equações (2-4) nas equações (5-6) e (8-10) obtêm-se:

$$\varepsilon_{rr} = z \left(\frac{\partial \varphi_\theta}{\partial r} \right) \tag{68}$$

$$\varepsilon_{\theta\theta} = \frac{z}{r} \left(\varphi_\theta - \frac{\partial \varphi_r}{\partial \theta} \right) \tag{69}$$

$$\gamma_{r\theta} = -z \left[\frac{\partial \varphi_r}{\partial r} + \frac{1}{r} \left(\frac{\partial \varphi_\theta}{\partial \theta} - \varphi_r \right) \right] \quad (70)$$

$$\gamma_{\theta z} = \frac{1}{r} \frac{\partial w}{\partial \theta} - \frac{\partial \varphi_r}{\partial z} \quad (71)$$

$$\gamma_{rz} = \frac{\partial \varphi_\theta}{\partial z} + \frac{\partial w}{\partial r} \quad (72)$$

3.2.2

Campo de deslocamentos

O campo de deslocamentos da placa espessa é dado por três vetores que descrevem translações uz_i no eixo z, rotações $\varphi\theta_i$ no eixo θ e rotações φr_i no eixo r, ($i=1,2$). Como se pode ver na figura 3.1, os vetores que descrevem estas translações e rotações são: w_e , φr_e e $\varphi\theta_e$. Para o caso de carregamento axissimétrico interessam os seguintes vetores:

$$w_e = \begin{Bmatrix} w_{Be} \\ w_{Ae} \end{Bmatrix}; \quad \varphi r_e = \begin{Bmatrix} \varphi r_{Be} \\ \varphi r_{Ae} \end{Bmatrix}; \quad \varphi\theta_e = \begin{Bmatrix} \varphi\theta_{Be} \\ \varphi\theta_{Ae} \end{Bmatrix} \quad (73)$$

$$w_{Be} = \begin{Bmatrix} N_1 \\ 0 \\ 0 \\ N_4 \\ 0 \\ 0 \end{Bmatrix}; \quad \varphi r_{Be} = \begin{Bmatrix} 0 \\ N_2 \\ 0 \\ 0 \\ N_5 \\ 0 \end{Bmatrix}; \quad \varphi\theta_{Be} = \begin{Bmatrix} 0 \\ 0 \\ N_3 \\ 0 \\ 0 \\ N_6 \end{Bmatrix} \quad (74)$$

$$w_{Ae} = \begin{Bmatrix} Nw \\ 0 \\ 0 \end{Bmatrix}; \quad \varphi r_{Ae} = \begin{Bmatrix} 0 \\ N\varphi r \\ 0 \end{Bmatrix}; \quad \varphi\theta_{Ae} = \begin{Bmatrix} 0 \\ 0 \\ N\varphi\theta \end{Bmatrix} \quad (75)$$

Nas expressões acima $w_{Be}, \varphi r_{Be}, \varphi\theta_{Be}$ são vetores que tem como elementos $N_1 \dots N_6$ polinômios básicos de interpolação nodais, que descrevem os deslocamentos e rotações nodais. $w_{Ae}, \varphi r_{Ae}, \varphi\theta_{Ae}$ Estes são vetores que tem como elementos $N_7 \dots N_n$, são funções de interpolação adicionais que descrevem deslocamentos e rotações internas, onde N_w é o numero de funções adicionais de translação no eixo z; $N\varphi r$ é o numero de funções adicionais de rotação no eixo r; e $N\varphi\theta$ é o numero de funções adicionais de rotação no eixo θ . Dentro de cada uma das funções adicionais tem-se como elementos uma função par e ímpar. Então o número total de elementos de cada função adicional pode ser calculado da seguinte forma:

$$N_w = N\varphi r = N\varphi\theta = 2(N_{\text{impar}} + N_{\text{par}}) \quad (76)$$

Agora, ao se considerar um carregamento não axissimétrico, temos vetores divididos em duas partes, a primeira com funções básicas e funções adicionais que já foi desenvolvida acima; a segunda parte que tem como elementos os vetores multiplicados por a função trigonométrica ($\text{sen}\theta$) ou ($\text{cos}\theta$).

$$w_e = \begin{Bmatrix} w_{Be} \\ w_{Ae} \\ w_{BTe} \\ w_{ATe} \end{Bmatrix}; \quad \varphi r_e = \begin{Bmatrix} \varphi r_{Be} \\ \varphi r_{Ae} \\ \varphi r_{BTe} \\ \varphi r_{ATe} \end{Bmatrix}; \quad \varphi\theta_e = \begin{Bmatrix} \varphi\theta_{Be} \\ \varphi\theta_{Ae} \\ \varphi\theta_{BTe} \\ \varphi\theta_{ATe} \end{Bmatrix} \quad (77)$$

Nessas equações, $w_{BTe}, w_{ATe}, \varphi r_{BTe}, \varphi r_{ATe}, \varphi\theta_{BTe}$ e $\varphi\theta_{ATe}$ são elementos do vetor que descrevem as deformações radiais e circunferenciais não axissimétricos.

$$\begin{Bmatrix} w_{BTe} \\ w_{ATe} \end{Bmatrix} = \begin{Bmatrix} w_B \\ w_A \end{Bmatrix} (\text{sen}\theta); \quad \begin{Bmatrix} \varphi r_{BTe} \\ \varphi r_{ATe} \end{Bmatrix} = \begin{Bmatrix} \varphi r_B \\ \varphi r_A \end{Bmatrix} (\text{cos}\theta) \quad (78)$$

$$\begin{Bmatrix} \varphi\theta_{BTe} \\ \varphi\theta_{ATe} \end{Bmatrix} = \begin{Bmatrix} \varphi\theta_B \\ \varphi\theta_A \end{Bmatrix} (\text{sen}\theta)$$

3.2.3 Funções nodais

As funções de forma polinomiais de primeiro grau que descrevem os seis graus de liberdade da placa a partir dos deslocamentos nodais tem quatro graus de liberdade de rotação e duas de translação nas extremidades correspondentes.

$$N_{1,2,3} = 1 - \frac{x}{L}; \quad N_{4,5,6} = \frac{x}{L} \quad (79)$$

Substituindo os valores de x e L da equação (54) na equação (79) obtemos com as seguintes relações,

$$N_{1,2,3} = 1 - \frac{r-b}{a-b}; \quad N_{4,5,6} = \frac{r-b}{a-b} \quad (80)$$

3.2.4 Funções adicionais

As funções adicionais $N_7 \dots N_n$ são polinômios hierárquicos que não tem um significado físico, mas que ajudam a descrever as deformações dentro do domínio da placa.

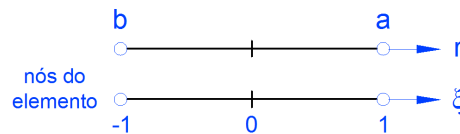


Figura 3-2. Relação de coordenadas normalizadas e coordenadas globais

$$\xi = cr + d \quad (81)$$

Nesta expressão a equação linear relaciona as coordenadas normalizadas com as globais. Para isso é necessário conhecer as constantes c e d substituindo as duas condições nodais que se conhecem:

$$\left. \begin{array}{l} r = b \rightarrow \xi = -1 \\ r = a \rightarrow \xi = 1 \end{array} \right\} c = \frac{2}{a-b}; \quad d = \frac{2b}{a-b} - 1 \quad (82)$$

Substituindo as constantes c e d da equação (82) e o valor de x na equação (81) obtém-se o valor de ξ é:

$$\xi = \frac{2(r-b)}{a-b} - 1 \quad (83)$$

Uma alternativa prática para definir as funções adicionais é escolhendo dois tipos de polinômios pares e ímpares como pode se mostrar:

$$N_{\geq 7} = \begin{cases} 1 - \xi^{2n} & n \text{ par} \\ \xi - \xi^{2n} & n \text{ ímpar} \end{cases} \quad (84)$$

Esta série de polinômios tem sempre valores nulos nos extremos do seu domínio, substituindo o valor de ξ na equação (83), tem-se:

$$\begin{aligned} N_{par \geq 7} &= 1 - \left(\frac{2(r-b)}{a-b} - 1 \right)^{2n} \\ N_{impar \geq 7} &= \left(\frac{2(r-b)}{a-b} - 1 \right) \left(1 - \left(\frac{2(r-b)}{a-b} - 1 \right)^{2n} \right) \end{aligned} \quad (85)$$

3.2.5 Graus de liberdade

Na placa espessa serão considerados seis graus de liberdade, duas translações no eixo z duas rotações no eixo r e duas rotações no eixo θ . Que serão descritos com os vetores w, φ_r e φ_θ respectivamente.

$$w = \begin{Bmatrix} w_1 \\ 0 \\ 0 \\ w_4 \\ 0 \\ 0 \end{Bmatrix} \quad \varphi_\theta = \begin{Bmatrix} 0 \\ \varphi_2 \\ 0 \\ 0 \\ \varphi_5 \\ 0 \end{Bmatrix} \quad \varphi_r = \begin{Bmatrix} 0 \\ 0 \\ \varphi_3 \\ 0 \\ 0 \\ \varphi_6 \end{Bmatrix} \quad (86)$$

Aonde cada grau de liberdade é igual a uma função nodal polinomial
 $w_1, \varphi_2, \varphi_3, \varphi_4, \varphi_5, \varphi_6 = N_1, N_2, N_3, N_4, N_5, N_6$.

3.2.6 Relação tensão deformação

A relação tensão deformação para uma placa elástica espessa pode ser descrita pelas equações (11-12) e (14-16):

$$\sigma_{rr} = \frac{E z}{(1-\nu^2)} \left[\left(\frac{\partial \varphi_\theta}{\partial r} \right) + \frac{\nu}{r} \left(\varphi_\theta - \frac{\partial \varphi_r}{\partial \theta} \right) \right] \quad (87)$$

$$\sigma_{\theta\theta} = \frac{E z}{(1-\nu^2)} \left[\frac{1}{r} \left(\varphi_\theta - \frac{\partial \varphi_r}{\partial \theta} \right) + \nu \left(\frac{\partial \varphi_\theta}{\partial r} \right) \right] \quad (88)$$

$$\tau_{r\theta} = -\frac{E z}{2(1+\nu)} \left[\frac{\partial \varphi_r}{\partial r} + \frac{1}{r} \left(\frac{\partial \varphi_\theta}{\partial \theta} - \varphi_r \right) \right] \quad (89)$$

$$\tau_{rz} = \frac{E}{2(1+\nu)} \left[\frac{\partial \varphi_\theta}{\partial z} + \frac{\partial w}{\partial r} \right] \quad (90)$$

$$\tau_{\theta z} = \frac{E}{2(1+\nu)} \left[\frac{1}{r} \frac{\partial w}{\partial \theta} - \frac{\partial \varphi_r}{\partial z} \right] \quad (91)$$

3.2.7 Energia de deformação da placa espessa

Uma vez conhecido o campo de deslocamentos e deformações da placa espessa pode se enxergar a energia de deformação da placa espessa, sabendo que a relação tensão deformação para uma placa elástica espessa

pode ser descrita pelas tensões $(\sigma_{rr}, \sigma_{\theta\theta})$ que são tensões normais e $(\sigma_{r\theta}, \sigma_{rz}, \sigma_{\theta z})$ que são tensões cisalhantes.

$$U = \frac{1}{2} \int_b^a \int_0^{2\pi} \int_{-h/2}^{h/2} [\sigma_{rr} \varepsilon_{rr} + \sigma_{\theta\theta} \varepsilon_{\theta\theta} + \tau_{r\theta} \gamma_{r\theta} + \tau_{rz} \gamma_{rz} + \tau_{\theta z} \gamma_{\theta z}] r dr d\theta dz \quad (92)$$

$$+ \frac{1}{2} \int_b^a \int_0^{2\pi} k w^2 r dr d\theta$$

Na qual a segunda parcela desta integral é a energia do apoio elástico da placa.

3.2.8 Matriz de rigidez da placa espessa

A matriz de rigidez pode ser construída através do princípio da energia de deformação. Sabendo que a deformação pode ser representada de maneira vetorial, então consideramos os seguintes elementos como vetores coluna $(\varepsilon_{rr}, \varepsilon_{\theta\theta}, \gamma_{r\theta}, \gamma_{rz}, \gamma_{\theta z})$ os módulos de elasticidade longitudinal e transversal são dados por

$$E' = \frac{E}{(1-\nu^2)} \quad G = \frac{E}{2(1+\nu)} \quad (93)$$

Com os valores da equação (93), integrando a equação (92) de tensões e deformações torna-se:

$$[K_E] = \int_b^a \int_0^{2\pi} \int_{-h/2}^{h/2} \left(\begin{array}{l} \{\varepsilon_{rr}\} E' \{\varepsilon_{rr}\}^T + \nu \{\varepsilon_{\theta\theta}\} E' \{\varepsilon_{rr}\}^T + \nu \{\varepsilon_{rr}\} E' \{\varepsilon_{\theta\theta}\}^T \\ + \{\varepsilon_{\theta\theta}\} E' \{\varepsilon_{\theta\theta}\}^T + \{\gamma_{r\theta}\} G \{\gamma_{r\theta}\}^T + \{\gamma_{rz}\} G \{\gamma_{rz}\}^T \\ + \{\gamma_{\theta z}\} G \{\gamma_{\theta z}\}^T \end{array} \right) r dr d\theta dz \quad (94)$$

$$+ \int_b^a \int_0^{2\pi} k \{w\} \{w\}^T r dr d\theta$$

Aonde k é o coeficiente de rigidez de apoio elástico e w é o vetor de funções de deformação na direção da aplicação das molas.

3.2.9 Vetor de forças

O tipo de carga que é considerado é a carga uniforme distribuída perpendicular na superfície média da placa. Para calcular o vetor de forças utiliza-se a energia potencial de cargas externas:

$$[P] = - \int_b^a \int_0^{2\pi} q_z \{w\} r dr d\theta \quad (95)$$

3.2.10 Matriz de massa

A matriz de massa contém a ação inercial de um elemento devido as acelerações unitárias nos graus de liberdade. Estas ações inerciais são transformadas em forças concentradas nos nós. Substituindo os deslocamentos na equação (35), obtemos:

$$[M] = \int_b^a \int_0^{2\pi} \int_{-h/2}^{h/2} \rho \left(\{u_r\} \{u_r\}^T + \{u_\theta\} \{u_\theta\}^T + \{u_z\} \{u_z\}^T \right) r dr d\theta dz \quad (96)$$

3.2.11 Matriz geométrica

A matriz de rigidez geométrica para a placa circular pode ser obtida pelo trabalho realizado pelas forças constantes agindo em direção axial do plano médio da placa. Estas forças são as tensões das equações (40-41). A matriz de rigidez geométrica pode ser obtida em função da energia de deformação das cargas externas, equação (39).

$$[K_G] = \int_b^a \int_0^{2\pi} \int_{-h/2}^{h/2} \sigma_{\theta\theta} \{\varphi_\theta\} \{\varphi_\theta\}^T r dr d\theta dz \quad (97)$$

$$+ \int_b^a \int_0^{2\pi} \int_{-h/2}^{h/2} \sigma_{rr} \{\varphi_r\} \{\varphi_r\}^T r dr d\theta dz$$

3.3

Matriz de rigidez dos apoios

O número total de funções é dado por

$$N_{Tf} = N_{pb} + N_{pa} \quad (98)$$

Onde $N_{pb} = 6$ que é o número total de funções básicas e N_{pa} é o número total de funções adicionais.

A matriz de apoios terá de tamanho $(N_{Tf} \times N_{Tf})$, e para conhecer os seis elementos da diagonal principal da matriz é preciso conhecer as condições de contorno do problema utilizado o Método das Penalidades.

Terão que conhecer as rigidezes das molas que se encargam de restringir as rotações e translações nos nós.

$$K_{Ap} = \begin{bmatrix} K_{11} & 0 & \dots & 0 & 0 & \dots & 0 \\ 0 & \ddots & \ddots & \vdots & \ddots & \ddots & \vdots \\ \vdots & \ddots & \ddots & 0 & 0 & \ddots & 0 \\ 0 & \dots & 0 & K_{66} & 0 & \ddots & 0 \\ 0 & \ddots & 0 & 0 & 0 & \ddots & 0 \\ \vdots & \ddots & \ddots & \ddots & \ddots & \ddots & 0 \\ 0 & \dots & 0 & 0 & 0 & 0 & 0 \end{bmatrix}_{(N_{Tf} \times N_{Tf})} \quad (99)$$

3.4

Frequências naturais

As frequências podem ser obtidas através da solução da seguinte equação:

$$\{\lambda\} = [M]^{-1} [K_E] \quad (100)$$

Onde $[M]$ é a matriz de massa e $[K_E]$ é a matriz elástica da placa. Resolvendo este problema obtemos os auto valores para poder obter desta forma as frequências naturais do sistema $\{\lambda\} = \{\omega^2\}$.

3.5

Carga crítica

Para o cálculo das cargas críticas utiliza-se a mesma formulação já citada no capítulo 2, a partir disto pode se obter a seguinte formulação para a obtenção desta carga:

$$\{\lambda\} = -[K_G]^{-1} [K_E] \tag{101}$$

Onde se sabe que $[K_G]$ é a matriz geométrica e $[K_E]$ é a matriz elástica da placa. Resolvendo este problema obtemos os auto valores para obter desta forma a carga crítica o sistema $\{\lambda\} = \{\omega^2\}$.

3.6

Matriz de carga seguidora

A matriz da carga seguidora não conservativa que depende linearmente dos deslocamentos é a seguinte:

$$[K_L]_{34} = -\int_0^a \int_0^{2\pi} Pcr \, drd\theta \tag{102}$$

$$[K_L] = \begin{bmatrix} 0 & 0 & \dots & 0 & 0 & \dots & 0 \\ 0 & \ddots & \ddots & \vdots & \ddots & \ddots & \vdots \\ \vdots & \ddots & \ddots & K_{34} & 0 & \ddots & 0 \\ 0 & \dots & 0 & 0 & 0 & \ddots & 0 \\ 0 & \ddots & 0 & 0 & 0 & \ddots & 0 \\ \vdots & \ddots & \ddots & \ddots & \ddots & \ddots & 0 \\ 0 & \dots & 0 & 0 & 0 & 0 & 0 \end{bmatrix}_{(N_{Tf} \times N_{Tf})} \tag{103}$$

3.7

Carga crítica dinâmica

Para a obtenção da carga críticas parte-se da seguinte análise:

$$\{\lambda\} = [K_G + K_L]^{-1} [K_E] \quad (104)$$

Onde se sabe que $[K_L]$ é a matriz de carga seguidora da placa. Resolvendo este problema obtemos os auto valores para obter desta forma a carga crítica o sistema $\{\lambda\} = \{\omega^2\}$.

3.8

Varição de espessura da placa

Para o projeto de a placa circular anular pode ser considerada uma variação da espessura linear, quando a espessura da placa incrementa-se linearmente com o raio.

$$h = \left(\frac{h_1 - h_0}{a - b} \right) (r - b) + h_0 \quad (105)$$

Onde h_0 é a espessura interna, h_1 é a espessura externa da placa e a e b são os raios externo e interno como pode observar na figura 2.3.